

Вершинные модели. На шахматной доске в центрах белых граней (подрешётка A) расположены спины σ_i , в центрах чёрных граней (подрешётка B) — спины μ_a . Взаимодействуют спины четырёх граней, сходящихся в одной точке — вершине (рис. 2). Каждой конфигурации спинов на гранях с вершиной V приписывается гиббсовский статистич. вес $w_V(\sigma_i, \sigma_j; \mu_a, \mu_b)$, наз. в *вершинном статистич. весом* (BCB). Статистич. вес $W\{\sigma, \mu\}$ заданной конфигурации спинов $\{\sigma, \mu\}$ на решётке равен произведению BCB всех вершин. Предполагается, что BCB не меняется при независимых перестановках аргументов ($\sigma_i \leftrightarrow \sigma_j$) и ($\mu_a \leftrightarrow \mu_b$). Если BCB не зависит от переменных μ_a, μ_b , модель относится к описанным ранее моделям с парным взаимодействием, т. к. на подрешётке A спины σ_i и σ_j являются ближайшими. Если BCB $w_V(\sigma_i, \sigma_j; \mu_a, \mu_b)$ представимы в виде произведения ПСВ $w_V^A(\sigma_i, \sigma_j)$ и $w_V^B(\mu_a, \mu_b)$, то система спинов $\{\sigma_i, \mu_a\}$ распадается на две независимые подсистемы с парным взаимодействием.

Восьмивершинная модель ($8V$ -модель). Спины σ и μ принимают значения ± 1 . Энергия взаимодействия спинов в вершине инвариантна относительно группы $Z_2 \otimes Z_2: \sigma_i \rightarrow \pm \sigma_i, \mu_a \rightarrow \pm \mu_a: : T^{-1} \varepsilon_V \{\sigma, \mu\} = K_0 + K_A \sigma_i \sigma_j + K_B \mu_a \mu_b + K_{\sigma, \mu} \mu_a \mu_b$. Симметрией $8V$ -модели обладает атомарный водород, адсорбированный на поверхности вольфрама.

Рёберное представление $8V$ -модели. На рёбрах шахматной решётки вводят переменные $\alpha_l = \pm 1$ (l — номер ребра). Знак переменной изображается направлением стрелки на ребре: если $\alpha_l = 1$, то при движении в направлении стрелки чёрное поле должно оставаться справа, а при $\alpha_l = -1$ — слева (рис. 3). Переменную α_l связывают с переменными σ_i, μ_a на гранях i и a , разделёнными ребром $l: \alpha_l = \sigma_i \mu_a$. Произведение α_l по рёбрам, сходящимся в вершину V , равно единице. Восемь возможных конфигураций стрелок в вершине изображено на рис. 3. Случаи X и Y соот-

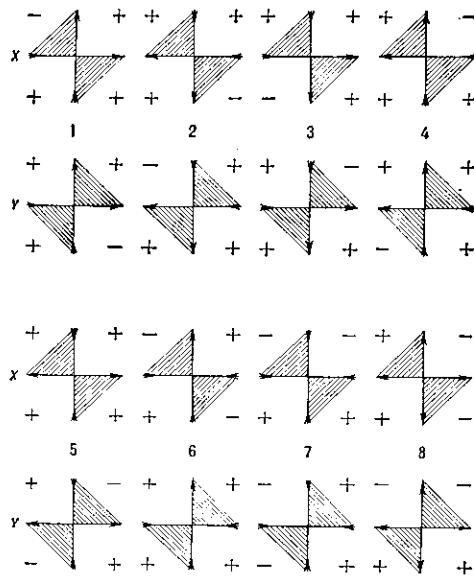


Рис. 3. Допустимые вершины $8V$ -модели. На гранях указана одна из двух возможных спиновых конфигураций, другая получается из неё обращением всех знаков.

вествуют разным типам вершин на шахматной доске, образующих подрешётки X и Y . Каждой конфигурации стрелок в вершине приписываются BCB: w_1, \dots, w_8 . BCB не изменяются при изменении ориентации всех стрелок в вершине ($Z_2 \otimes Z_2$ -симметрия). BCB на решётках X и Y различны.

Обобщённая $8V$ -модель. Рёберную модель можно рассматривать вне зависимости от её связи с $Z_2 \otimes Z_2$ -симметричной граневой моделью. В рамках этой модели можно описать модели Поттса, АТ и модель Бакстера, если параметризовать BCB согласно табл. 2.

Табл. 2.

Номер вершины	1	2	3	4	5	6	7	8
BCB на подрешётке X	ae^u	ae^u	be^{-u}	be^{-u}	ce^s	ce^{-s}	d	d
BCB на подрешётке Y	ae^{-u}	ae^{-u}	be^u	be^u	ce^{-s}	ce^s	d	d

Модель Бакстера (симметричная $8V$ -модель), $u=s=0$, модель имеет точное решение. Шестивершинная модель ($6V$ -модель, модель льда), частный случай $8V$ -модели при $d=0$. Модель жёстких гексагонов (треугольный решётчатый газ). Узлы треугольной решётки заняты частицами или свободны. Вес занятого узла равен z , вес свободного узла равен 1. Соседние узлы не могут быть заняты одновременно. Переменная σ_j описывает занятый узел ($\sigma_j=1$) или вакансию ($\sigma_j=0$). Модель можно сформулировать как вершинную на квадратной решётке, для этого треугольная решётка (пунктирные линии) деформируется, как показано на рис. 4.

Обобщённая модель жёстких гексагонов (ЖГ) получается из предыдущей внесением в BCB дополнит. множителя $\exp(L\sigma_i\sigma_j + M\mu_1\mu_2)$, где L и M — новые параметры. Модель ЖГ имеет точное решение, если L, M и z связаны соотношением:

$$z = (1 - e^{-L})(1 - e^{-M})(e^{L+M} - e^L - e^M)^{-1}. \quad (2)$$

Модель жёстких гексагонов является предельным случаем ЖГ при $L \rightarrow 0, M \rightarrow \infty$ и фиксиров. z .

Преобразования моделей. Можно установить соответствие между нек-рыми из описанных моделей с помощью *дualных преобразований* (ДП). В самодуальных моделях ПСВ сохраняют свой вид при ДП, преобразуются только параметры взаимодействия, а ПСВ приобретают нормировочный множитель. В $8V$ -модели можно произвести ДП для спинов на одной из подрешёток, зафиксировав их на другой. При таком частичном ДП $8V$ -модель переходит в модель АТ. При $a=b$ $8V$ -модель дуальна однородной и изотропной модели АТ. Совершив ДП над оставшимися переменными (полное ДП), можно установить соответствие между двумя дуальными $8V$ -моделями (переменные σ и μ при полном ДП обмениваются подрешётками). Полное ДП модели АТ состоит из двух последоват. частичных ДП: $AT \rightarrow 8V \rightarrow AT$. Модель БВ дуальна дискретной модели Гаусса, если $KJ=1$.

Кулоновский решёточный газ. Низкоколющие возбуждённые состояния систем с симметрией $O(2)$ (XY -модель, модель БВ) разделяются на спиновые волны и магн. вихри. Последние характеризуются целочисл. переменной $m(\mathbf{R})$, определяющей циркуляцию спинов вокруг грани с центром в \mathbf{R} . Число $m(\mathbf{R})$ наз. зарядами вихрей. После исключения спиновых волн задача сводится к вычислению статистич. суммы двумерной кулоновской нейтральной плазмы на решётке. Роль заряж. частиц играют вихри, их взаимодействие логарифмически зависит от расстояния.

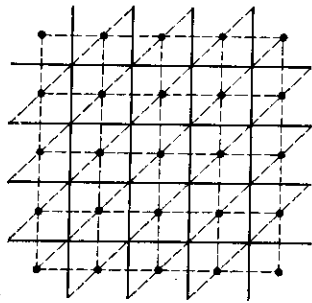


Рис. 4. Модель жёстких гексагонов на квадратной решётке.